تحليل النماذج الرقمية لدراسة الانحدارات الارضية في قضاء السلمان جنوب محافظة المثنى باستعمال تقنيات الاستشعار عن بعد ونظم المعلومات الجغرافية

م.م. إيهاب عزيز درفش الزيادي

أ.م.د. حسين جوبان عربيب المعارضي أ.د .طارق جمعة علي المولس جامعة البصرة / كلية التربية للعلوم الإنسانية / قسم الجغرافيا

ملخص البحث:

التخذت الدراسة من تقنيتي الاستشعار عن بعد (RS) ونظم المعلومات الجغرافية (GIS) كأساس في التمثيل الخرائطي للانحدارات الأرضية ضمن قضاء السلمان ومن ثم تحليلها جيوموروفولوجياً، تقع منطقة الدراسة جنوب غرب العراق في جنوب محافظة المثنى، وهي تتمثل بالمنطقة المحصورة ما بين دائرتي عرض ("0."0."20."02."02."010) شمالا، وخطي طول ("0."0."44-"0."05."03) شرقا بمساحة مقدار ها (17463.84 كم 17463.84 كم 17463.84 كم 17463.84 كم 18463.84 كم 19463.84 كم 1946

الكلمات المفتاحية: النماذج الرقمية، الاستشعار عن بعد، نظم المعلومات الجغرافية، الانحدارات.

مجلة أبجاث البصرة للعلوم الإنسانية

تحليل النماذج الرقمية لدراسة الانحدارات الارضية في قضاء السلمان جنوب محافظة المثنى باستعمال تقنيات الاستشعار عن بعد ونظم المعلومات الجغرافية: ـــ

Analyzing Digital Models to Study Land Slopes in Al-Salman District, South of Al-Muthanna Governorate, Using Remote Sensing Techniques and Geographic Information Systems

Asst. Lecturer. Ihab Aziz Darfash Al-Ziyadi

General Directorate of Education in Al-Muthanna

Assist. Prof. Dr. Hussein Juban Uraybi Al Maaridhi Prof. Dr. Tariq Juma'a, Ali Al-Mawla

Dept. of Geography, College of Education for Human Sciences, University of Basrah

Abstract:

The study adopts the techniques of remote sensing (RS) and geographic information systems (GIS) as a basis for the cartographic representation of the land slopes within the Al-Salman district and then analyzed it geomorphologically. (310.20 - .0 = -290.20 - .0 =) north, and longitude (450.30 - .0 = -440.0 - .0 =) east with an area of (17463.84 km2).

The study used three satellite scenes from the data of the American satellite (Landsat 8), and the DEM (Digital Elevation Model) files were relied on with an accuracy of (30 m), and it relied on the geographic information systems program (Arc GIS V.10.3) and the program (ERDAS 2014) in drawing, improving, showing and diagnosing the spectral characteristics of the visuals to serve the study. From the analysis of numerical regression models by means of the GIS program, the severe Hill Shade refers to areas with large slopes, which appear more clearly in the Salman depression and deep valleys as well as the case for depression with large extensions. Their values range between (173-0) and are symbolized by the color black. They constituted a percentage of (24.16%) of the total area of the study area, the directions of slopes in the study area is nine directions. The Northeast lands recorded the largest area with a percentage of (13.52%). In terms of curvature, the percentage of concave directions reached (29.54%) and convex directions (15.28%) of the total area of the study area.

<u>Keywords</u>: digital models, remote sensing, geographic information systems, Curvature.

تحليل النماذج الرقمية لدراسة الانحدارات الارضية في قضاء السلمان جنوب محافظة المثنى باستعمال تقنيات الاستشعار عن بعد ونظم المعلومات الجغرافية: ـــ

المقدمة:

تشكل الانحدارات اكثر المظاهر الجيومورفولوجية انتشارا على سطح اليابسة ان لم تشغل غالبيته، تطورت دراستها في النصف الثاني من القرن العشرين حتى اصبحت جوهر علم الجيومورفولوجيا، وتعد من اكثر النظم الارضية حساسية لتغيرات البيئة، كما تتبادل المادة والطاقة مع النظم المحيطة لذا توصف بانها نظاماً بيئياً مفتوحاً (Open System) و الانحدارات الارضية نوعان طبيعية (Natural Slopes) و بشرية (Man Made Slopes) وكالهما غير مستقر، اذ يتعرضان للتغيير بغض النظر عن الفترة الزمنية، الامر الذي ينعكس في تهديد مناطق العمران في الخسائر المادية وبالأرواح. ان تظافر عمل البنية الجيولوجية والسطح والمناخ فضلاً عن الموارد المائية والنبات الطبيعي، السبب الرئيس في توليد هذه الظاهرة وتشكيل المنظومة المورفولوجية لها، وما كانت عمليات الرفع او الانخفاض التكتوني والتعرية المائية الشديدة الا برهان ذلك. زاد ذلك تأكيدا تغير درجة الانحدار بفعل العوامل والعمليات الجيومورفولوجيين، فالتعرية في موازنة المنحدرات (Equilibrium Slope)، التي اصبحت اكثر قبو لا لدى الجيومورفولوجيين، فالتعرية في القمة والنقل في الوسط وتراكم المفتتات في القاع وبالإمكان مع مرور الزمن ان تتشكل منحدرات تلية صغيرة في الحجم وبسيطة في درجة الانحدار.

هذا ويمثل انحدار سطح الارض العلاقة بين متغيرين يشتركان في المسافة وفي الارتفاع يختلفان، كما يمثلان ضلعان لزاوية قائمة احداهما فرق المنسوب والاخير يسمى المسافة الافقية، لذلك تعد التغيرات السطحية للأشكال الجيومورفولوجية عبارة عن مجموعة من الانحدارات المتباينة عادة على جوانبها^(۲). عموما هناك شبه اتفاق مع (Yang) من حيث تعريف المنحدر، بانه ميل سطح الارض عن المستوى الافقي، ويقاس بالدرجات او النسبة المئوية. بهذا المفهوم فالمنحدر لا يقتصر على المناطق المُتضرِّسة في بيئة الجبال، انما يمتد ايضا ضمن المناطق السهلية والهضبية كما هو الحال في منطقة الدراسة.

مشكلة البحث:

تتلخص مشكلة البحث بالتساؤلات الاتية:

- أ- ما العوامل الطبيعية المؤثرة في تشكيل الخصائص الانحدارية لسطح قضاء السلمان.
- ب- ما طرق المعالجة الرقمية التي يمكنها الكشف عن الانحدارات الأرضية في منطقة الدراسة.

فرضية البحث:

- أ- تتباين العوامل الطبيعية ودرجة تأثيرها في الخصائص الانحدارية لسطح منطقة الدراسة من، ولعوامل جيولوجية المنطقة والمناخ والغطاء النباتي دوراً مهماً في ذلك.
- ب- يمكن من خلال تقنيات الاستشعار عن بعد ونظم المعلومات الجغرافية الكشف عن الانحدارات الأرضية في قضاء السلمان بطرق ووسائل متعددة.

<u>تحليل النماذج الرقمية لدراسة الانحدارات الارضية في قضاء السلمان جنوب محافظة المثنى باستعمال</u> <u>تقنيات الاستشعار عن بعد ونظم المعلومات الجغرافية:</u>

هدف البحث:

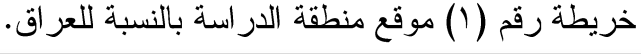
توظيف تقنيات الاستشعار عن بعد ونظم المعلومات الجغرافية في اشتقاق الانحدارات ضمن قضاء السلمان ووضع التصنيفات اللازمة في هذا المجال. علاوة على بناء قاعدة معلومات قابلة للتحديث عن ظاهرة الدراسة، واعداد فهرس خرائطي لتمثيلها، قد يسهم في وضع الخطط الاستراتيجية للتنمية من قبل اصحاب القرار مستقبلاً.

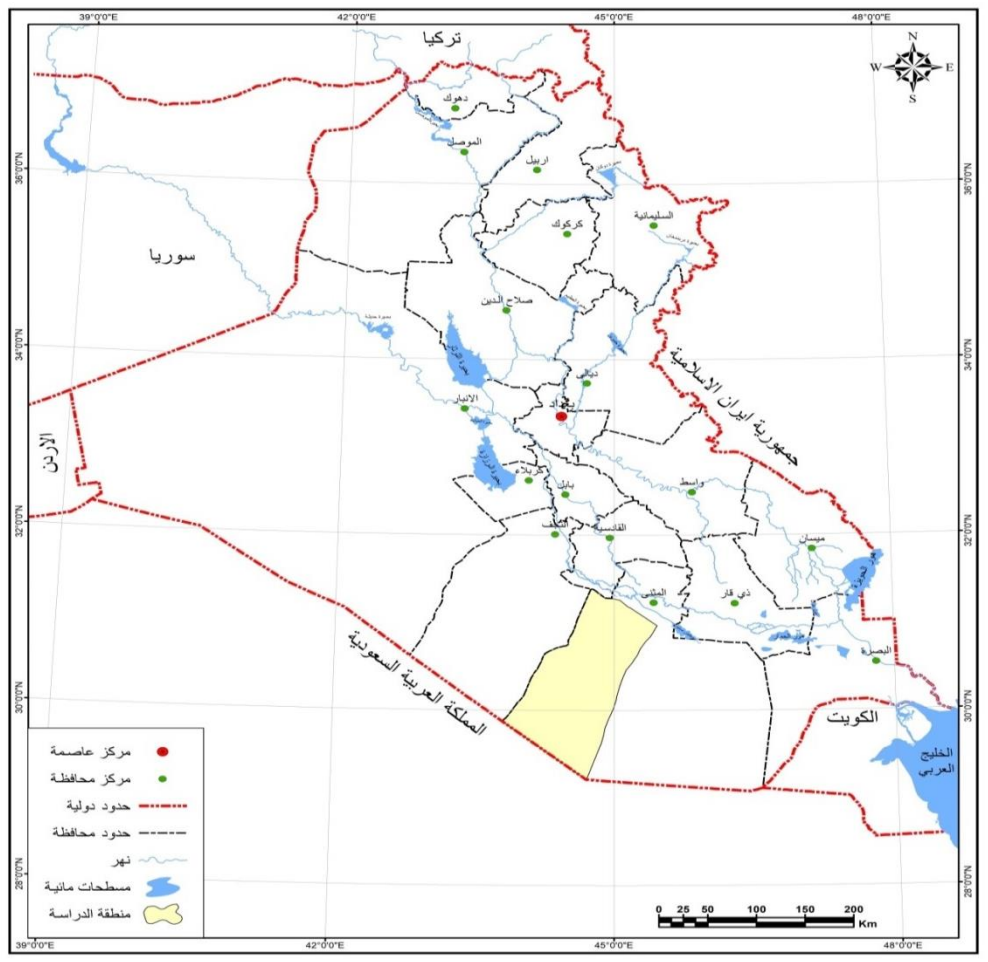
موقع منطقة الدراسة:

تقع منطقة الدراسة في جنوب غرب العراق، يضعها هذا الموقع ضمن الحدود الادارية لمحافظة المثنى جنوباً بالتحديد، من جهة الشمال تحاذي اقضية الخضر والسماوة والهلال فضلاً عن محافظة الديوانية، ناحية بصية تشغل الجزء الشرقي خارج حدود المنطقة، وهي تابعة للقضاء ادارياً، تمثل المملكة العربية السعودية الحدود الجنوبية، في حين تشغل محافظة النجف حدها الغربي. فلكياً تتمثل بالمنطقة المحصورة بين دائرتي عرض ($(-0.70.20^{-0.0})$ شمالا، وخطي طول $(-0.70.00^{-0.0})$ شرقا خريطة عرض ((-0.70.000) من المجموع الكلي لمساحة رقم (۱) ، تبلغ مساحتها ((-0.70.000) بنسبة مئوية مقدارها ((-0.70.000)) من المجموع الكلي لمساحة محافظة المثنى البالغة ((-0.70.000))، فيما اقتصرت الحدود الزمانية للدراسة على البيانات المتوافرة من عام ((-0.70.000)).

منهجية البحث:

اعتمد البحث على المنهج الكمي في اختيار الوسائل الرياضية التي تعطي نتائج معقولة في مجالات متعددة، يتضمن هذا المنهج الاسلوب المورفومتري واسلوب التحليل الاحصائي الذي يعتمد على جمع البيانات الوصفية والرقمية وتبويبها وتحليلها وتضمينها باستخدام الطرق والتقنيات الجغرافية الحديثة. فضلاً عن المنهج التحليلي في تحليل المرئيات الفضائية ونموذج الارتفاع الرقمي (DEM) زيادة على الخرائط المتعددة والتي تغطي منطقة الدراسة، كما استعملت الدراسة المنهج الوصفي القائم على رصد وتحليل الاشكال والظاهرات الجيومورفولوجية الناتجة عن العوامل والعمليات الجيومرفولوجية، من خلال التوزيع والتحليل والربط وتفسير العلاقة بين تلك الظاهرات، الى جانب المنهج الاصولي لغرض الوقوف على العوامل والعمليات الجيومورفولوجية المؤدية الى بناء وتكوين الانحدارات الارضية في قضاء السلمان.





المصدر: الباحثون باعتماد: وزارة الموارد المائية، المديرية العامة للمساحة، قسم انتاج الخرائط، خريطة العراق الادارية، بمقياس1:1000000، بغداد،2007.

المبحث الاول : العوامل الطبيعية المؤثرة في انجراف تربة قضاء السلمان:

تهتم الدراسات الجيومورفولوجية ببيان اثر العوامل والعمليات في إيجاد ظاهرة الدراسة، كونها القوى الفاعلة في تغيير ملامح سطح الأرض، تتمثل هذه العوامل بالبنية الجيولوجية والمناخ والتربة والنبات الطبيعي، التي يمكن ايضاحها كما يلي:

اولاً: الخصائص الجيولوجية:

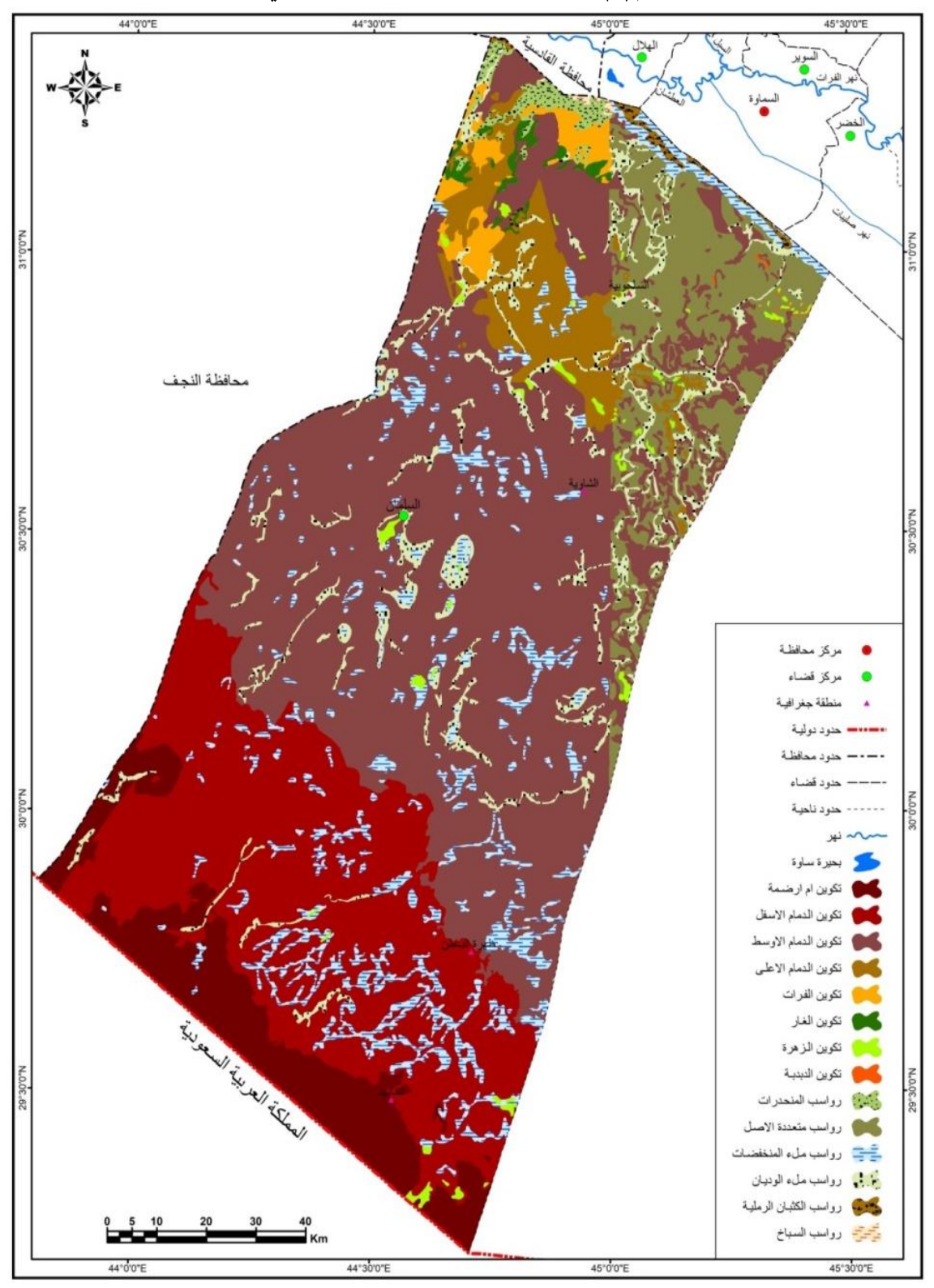
من الناحية التكتونية تعد تكوينات الزمن الثلاثي الاكثر شيوعا في قضاء السلمان بمساحة بلغت 2 (13762.19 ونسبة مئوية (78.80%)، تتراوح اعمارها بين البلايوسين الى البلايستوسين (Pliocene). في حين شكلت رواسب الزمن الرباعي مساحة اقل انتشاراً مقارنة بتكوينات الزمن الثالث بمقدار (3701.64 كم²) ونسبة مئوية بلغت (21.20 %)، تم وصف التوزيع الجغرافي لكل التكاوين المنكشفة من خلال الجدول رقم (١) والخريطة رقم (2) وهي من الاقدم الى الاحدث.

جدول رقم (١) انواع التكوينات الجيولوجية في قضاء السلمان من الاقدم الى الاحدث.

النسبة	المساحة			· ·	الزمن
(%)	رکست (کم ^۲)	العصر الجيولوجي	لجيولوجي	ولوجي التكوين الج ولوجي	
7.39	1291.26	باليوسين اوسط – باليوسين الاعلى	م ارضمة	تكوين ا	
22.45	3921.29	ايوسين الاسفل	الاسفل	ધ્યુ	
41.82	7302.72	ايوسين الاعلى	الاوسط	تكوين الدمام	
4.62	806.38	ايوسين الاوسط	الاعلى	ام ا	<u> </u>
1.38	240.21	المايوسين الاسقل	الفر ات	تكوين	
0.48	83.68	المايوسين الاسقل	، الغار	تكويز	" Ty:
0.63	110.87	بلايوسين- بلايستوسين	الزهرة	تكوين	
0.03	5.78	بلايوسين- بلايستوسين	تكوين الدبدبة		
78.8	13762.19	المجموع			
0.81	142.29	بلايستوسين - هولوسين	لمنحدر ات	رواسب ا	
8.09	1412.52	بلايستوسين - هولوسين	عددة الاصل	رواسب مت	
6.61	1154.76	هو لو سين	ب ملء فضات		الزمن
5.32	929.12	هولوسين	لء الوديان	رواسب م	من للن عليه
0.3	53.19	هو لو سين	ثبان الرملية	رواسب الك	
0.06	9.76	هولوسين	، السباخ	ر و اسب	
21.2	3701.64	المجموع			
100	17463.83	ماحة (كم ^٢)	موع الكلي للمس	المجه	

المصدر: الباحثون باعتماد الخريطة (2) وبرنامج (Arc GIS V.10.3) في حساب المساحات.

خريطة رقم(2) التكوينات الجيولوجية المنكشفة في قضاء السلمان.



المصدر: الباحثون باعتماد: وزارة الصناعة والمعادن، الهيأة العامة للمسح الجيولوجي والتعدين، خرائط جيولوجية (السلمان، انصاب، سوق الشيوخ، النجف)، بمقياس 1:250000، بغداد، سنوات مختلفة.

<u>تحليل النماذج الرقمية لدراسة الانحدارات الارضية في قضاء السلمان جنوب محافظة المثنى باستعمال</u> <u>تقنيات الاستشعار عن بعد ونظم المعلومات الجغرافية: </u>

اما من الناحية التكتونية يشغل الجزء الاعظم (99.9%) من منطقة الدراسة السطيح العربي النوبي ضمن نطاق الرصيف المستقر غير الملتوي، جزءاً من نطاق السلمان بمساحة (17446.49 كم²) من اجمالي منطقة الدراسة، في حين يمثل الجزء الضئيل من المساحة الكلية لمنطقة الدراسة نطاق الرصيف غير المستقر او الملتوي نطاق السهل الرسوبي حزام السماوة – الناصرية اقصى شمال منطقة الدراسة بمساحة (2.2 كم²) من المساحة الكلية ونسبة مئوية بلغت (0.07%) فيما حل اخيرا حزام النجف – ابو جير – الحضر الذي يقع في اقصى الجزء الشمالي ايضا من منطقة الدراسة بنسبة مئوية بلغت (0.02%) من مساحته البالغة 5.14

ثانياً: المناخ:

يعد المناخ من ابرز العوامل الطبيعية تأثيرا ومسؤولية في انجراف التربة ونشأة وتطور مظاهر سطح الارض، ذلك من خلال تغيراته المتواصلة التي انعكست في نشاط العمليات الجيومورفولوجية الحتية والترسيبية وما يقترن بها من اشكال متخلّفة، ينفرد عنصر الحرارة عن عناصر المناخ الاخرى من حيث درجة التأثير، كونه المحرك الرئيس لبقية العناصر، فنتيجة التباينات الحرارية تباين الضغط الجوي ثم تحرك الرياح، وما يرتبط بها من تكوّن الغيوم والتكاثف والتساقط، لذا ينسب اختلاف خصائص الحرارة مناطقياً الى انعكاس التباين الحراري⁽⁷⁾.ان ادنى معدلات درجات الحرارة خلال الفترة، ١٩٩٩-٢٠٢٠ سجلت في شهر تموز كانون الثاني بمقدار (11.3 م) ضمن محطة السماوة الرئيسة، ترتفع تدريجيا لتبلغ اقصاها في شهر تموز بواقع (37.1 م). كما سجلت المحطة المشار اليها مسبقا مجموع مطري سنوي بنحو (18.8 ملم) لنفس الفترة السابقة (أ)، وعلى الرغم من الفصلية الإمطار والتذبذب فضلا عن تدني كميتها الا ان مددها القصيرة والفجائية تعمل تنشيط التجوية بشقيها الكيميائية والفيزيائية ومن ثم زيادة في عملية انجراف التربة التي ينسحب تأثيرها على نشوء انحدارات ارضية .

ثالثاً: التربة:

بين بيورنك جدول رقم (٢) ان تربة قضاء السلمان جزء من بادية العراق الجنوبية، وهي من الترب شديدة الجفاف اي صحراوية بامتياز (Desert Soils)، ذلك بسبب ظروف المناخ الحار الجاف السائد في جنوب العراق وجنوب غربه، تضمنت منطقة الدراسة ثلاثة اصناف للتربة خريطة رقم (٣)، كان اكثرها انتشارا وسعة من النوع التربة الصحراوية الحجرية بمساحة بلغت (13058.25 كم²) ونسبة مئوية (74.77%) من مجموع مساحة منطقة الدراسة، حلت ثانيا من حيث المساحة الترب الصحراوية الجبسية المختلطة بمقدار (4120.12 كم²) ونسبة مئوية (23.6%) من جملة مساحة منطقة الدراسة، بينما مثلت ترب الكثبان الرملية الفئة الاخيرة من تصنيف بيورنك اذ سجلت مساحة (285.46) ونسبة مئوية هي الاقل بنحو (6.1%) من اجمالي مساحة منطقة الدراسة.

تحليل النماذج الرقمية لدراسة الانحدارات الارضية في قضاء السلمان جنوب محافظة المثنى باستعمال تقنيات الاستشعار عن بعد ونظم المعلومات الجغرافية: __

النسبة المئوية (%)	المساحة (كم²)	صنف التربة
74.77	13058.25	ترب صحراوية حجرية
23.6	4120.12	ترب صحراوية جبسية مختلطة
1.63	285.46	ترب الكثبان الرملية
100	17463.83	المجموع

المصدر: الباحثون باعتماد خريطة (٣).

رابعاً: الغطاء النباتى:

يعد الغطاء النباتي احد العوامل المهمة في الدراسات الجيومورفولوجية ومؤشرا رئيساً في تفسير العلاقة الارتباطية بين النبات وسطح الارض المدروس لاسيما الانحدارات الارضية من حيث الاتجاه والكثافة، المُناخ هو المؤثر الرئيس بتوزيع الغطاء النباتي الطبيعي في قضاء السلمان فضلا عن دور التربة التي لا ثقل اثرا في حياته. تم تطوير مؤشرات نباتية لقياس الكتلة الحيوية النباتية في المرئيات المستشعرة عن بعد بطريقة تفسر التباين في خصائص التربة، يعد مؤشر الغطاء النباتي (NDVI) أحد أكثر مؤشرات الغطاء النباتي شيوعًا ($^{\circ}$). يمثل (NIR) و(Red) قيمة الصورة للانعكاس الطيفي في منطقة الأشعة تحت الحمراء القريبة ($^{\circ}$ 0.88-8.80 ميكروميتر) والمناطق الحمراء ($^{\circ}$ 0.64-0.67) ميكروميتر) من الطيف على التوالي ($^{\circ}$ 1). يستخدم الانعكاس الأحمر، لأن الكلوروفيل يمتص بقوة في هذه المنطقة من الطيف كل من الكلوروفيل والكاروتينات (الضوء الأزرق) مما يجعل هذه المنطقة من الطيف مثالية لتقدير الغطاء النباتي، الكلوروفيل والكاروتينات (الضوء الأزرق) مما يجعل هذه المنطقة من الطيف مثالية لتقدير الغطاء النباتي، والكربون العضوي، عليه يتم استعمال انعكاس الأشعة تحت الحمراء القريبة لتصحيح تأثير تقلب خصائص التربة في حساب مؤشر (NDVI) ($^{\circ}$ 1). تتراوح القيم المنتجة بين ($^{\circ}$ 1 – $^{\circ}$ 1) فكلما كانت الكثافة اكبر اتجهت القيم نحو الموجب ($^{\circ}$ 1). ويتم التعبير عنه على النحو التالي ($^{\circ}$ 1):

$$NDVI = \frac{Band\ NIR - Band\ Red}{Band\ NIR + Band\ Red}$$

اذ ان:

NDVI= دليل الاختلاف النباتي.

Band NIR = الحزمة تحت الحمراء القريبة (Band 5) بطول موجى 0.88-0.85 ميكروميتر.

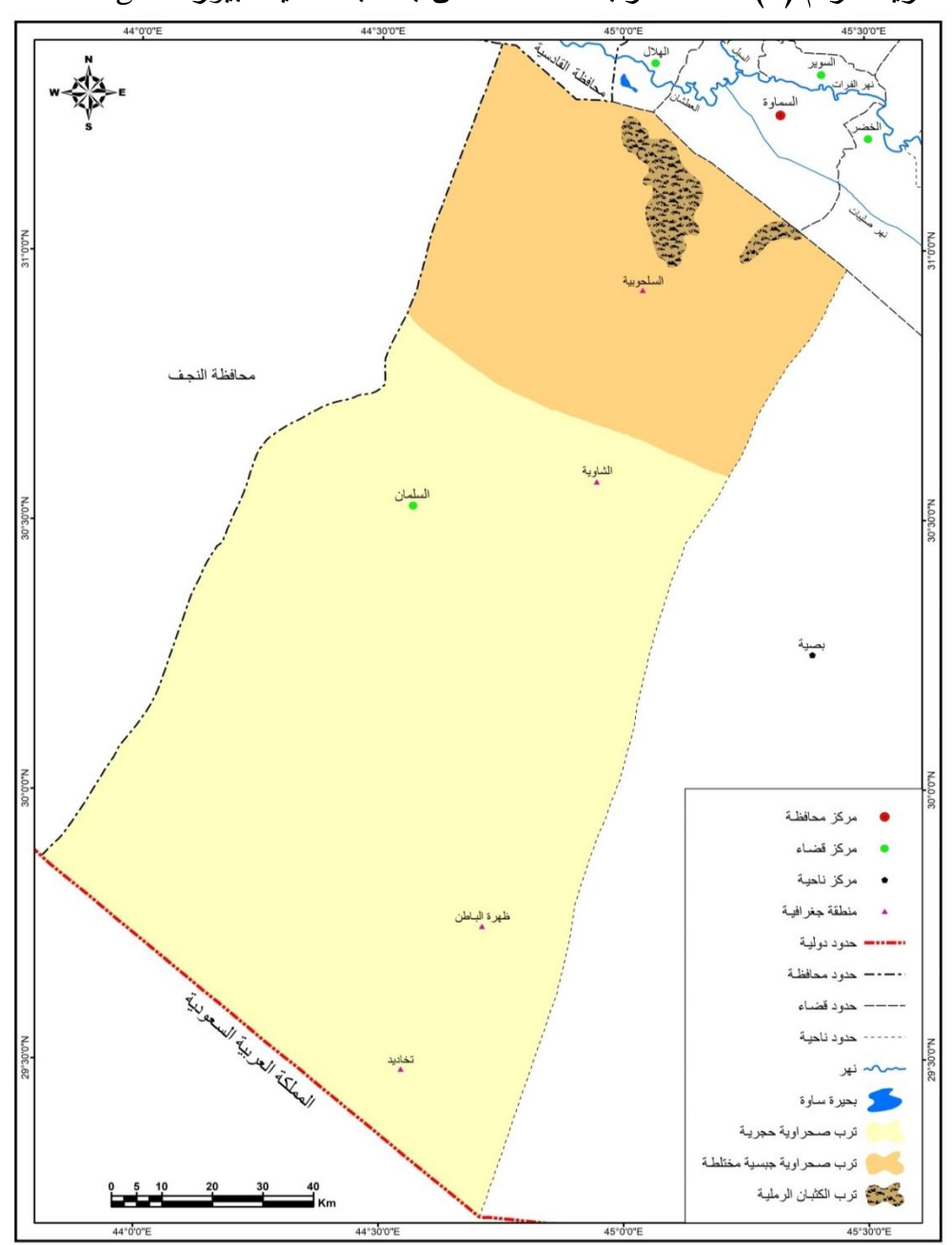
Band Red = الحزمة تحت الحمراء المرئية (Band 4) بطول موجى 0.64-0.67 ميكروميتر.

(Arc Tool Box - Map Algebra - Raster Calculator) تم تطبيق المعادلة اعلاه من خلال ((Float(Band5-Band4)/(Float(Band5+Band4)))

<u>تحليل النماذج الرقمية لدراسة الانحدارات الارضية في قضاء السلمان جنوب محافظة المثنى باستعمال</u> <u>تقنيات الاستشعار عن بعد ونظم المعلومات الجغرافية: </u>

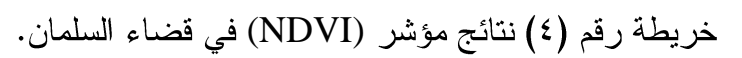
بعد تطبيق المعادلة على مرئية منطقة الدراسة (Landsat 8) الشهر الثامن الذي يعد اكثر شهور السنة من حيث ندرة الغطاء النباتي، كانت النتائج تتراوح ما بين (0.40 - 0.53 - 0.40)، خريطة رقم (٤)، يتضح ان التغطية النباتية في قضاء السلمان بلغت مساحة (0.50 - 0.40) أي ما يعادل (0.50 - 0.40) من مجموع المساحة الكلية لمنطقة الدراسة البالغة (0.50 - 0.40) يدل ذلك الى قُلّة الغطاء النباتي بالنسبة لمساحة القضاء الواسعة.

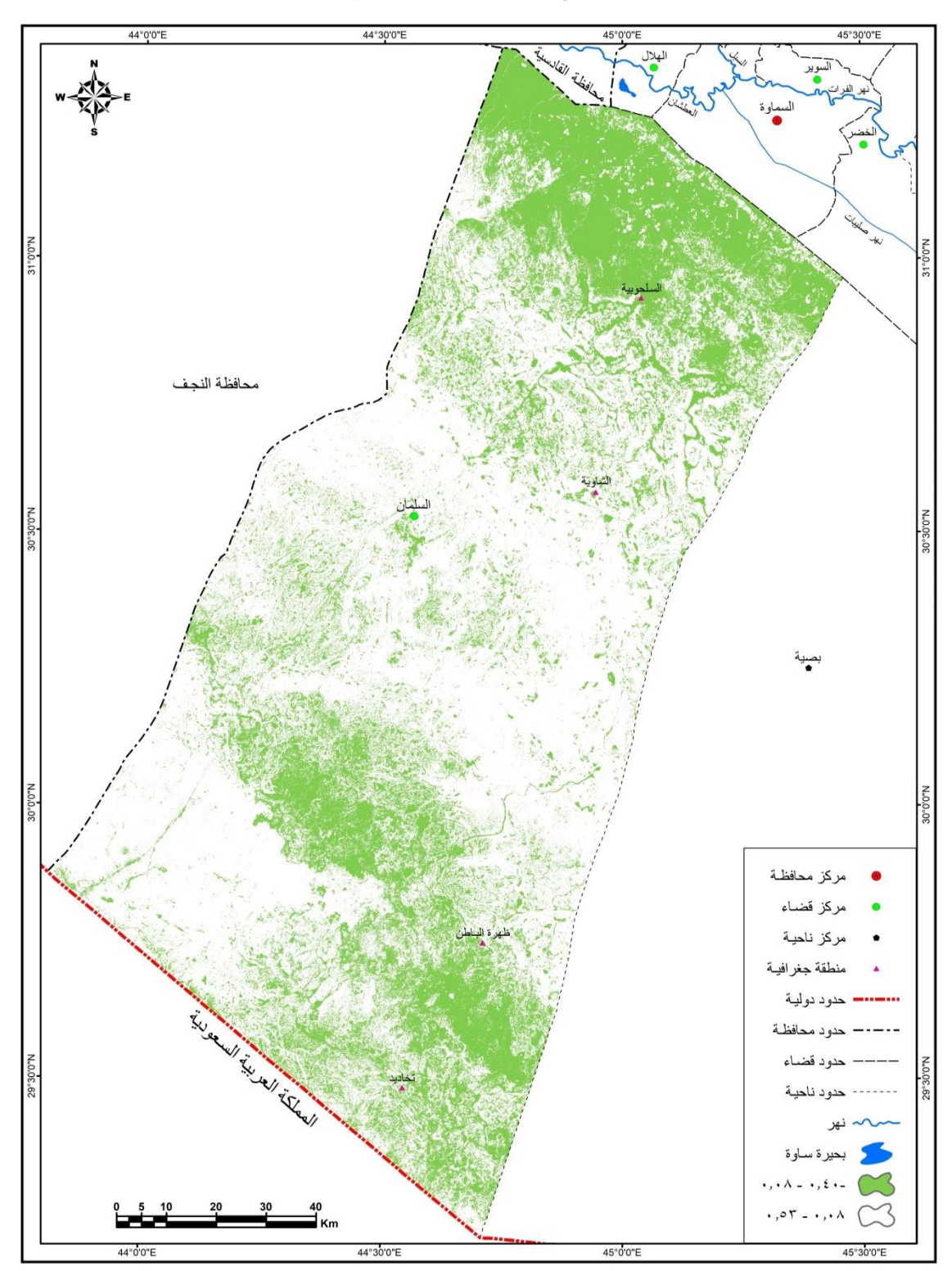
خريطة رقم (٣) اصناف ترب قضاء السلمان بحسب تصنيف بيورنك Buringh.



المصدر: الباحثون باعتماد:

P.Buringh Expolratory Soil Map of Iraq Scale 1:1000 000 Baghdad 1960.





المصدر: الباحثون باعتماد: القمر الأمريكي 8 Landsat، مرئية OLI، الحزم (5-4) بدقة 30، 2021

<u>تحليل النماذج الرقمية لدراسة الانحدارات الارضية في قضاء السلمان جنوب محافظة المثنى باستعمال</u> تقنيات الاستشعار عن بعد ونظم المعلومات الجغرافية: ـــ

المبحث الثاني :تحليل النماذج الرقمية في دراسة الانحدارات الارضية:

يُعرِف بأنه جمع وتحليل وتقييم وتفسير المعلومات الجغرافية المتعلقة بالخصائص الطبيعية والتضاريس من صنع الإنسان (الارتفاع) جنبًا إلى جنب مع العوامل الأخرى ذات الصلة، للتنبؤ بتأثير التضاريس، عادة ما يتم إجراء تحليل التضاريس الرقمية لمتابعة التصور الرياضي لسطح التضاريس من أجل وصف المناظر الطبيعية وتحديد العلاقات بين سطح التضاريس والعديد من الإجراءات والتطورات الطبيعية (۱۰). شهدت العقود الثلاثة الماضية نقلة نوعية في مجال مصادر البيانات والبرمجيات الخاصة في التحليل المكاني للظاهرات الجغرافية، لذلك عُدّت حجر الزاوية في مجال دراسة المنحدرات الارضية في قضاء السلمان بدلا من الاساليب التقليدية المتبعة في التحليل قديما، يعد نموذج الارتفاع الرقمي التولى تناول (HGT) احد اهم هذه المصادر، ويمكن تناول النماذج الرقمية في تمثيل الانحدارات الأرضية على النحو التالي:

اولاً: تصنيف الانحدارات الأرضية في قضاء السلمان:

تم اعتماد تصنيف Zink (1989)، وهو تصنيف جيومورفولوجي طرحه زنك عام 1989، يعد تصنيفا متسلسلا وهرميا، تم تطبيقه على قضاء السلمان، بهدف توضيح زوايا الانحدارات بحسب الجدول رقم (٣) ، بناءً على هذا التصنيف تراوحت درجات الانحدار ما بين (--7)، وان (-7.7) من مساحة قضاء السلمان تقع ضمن الانحدار المستوي—المسطح ضمن درجة الانحدار (-9.1)، في حين شكلت الانحدارات شديدة التقطع ضمن الفئة (30°) فأكثر مساحة (30.01) من جملة مساحة قضاء السلمان الخريطة (-9).

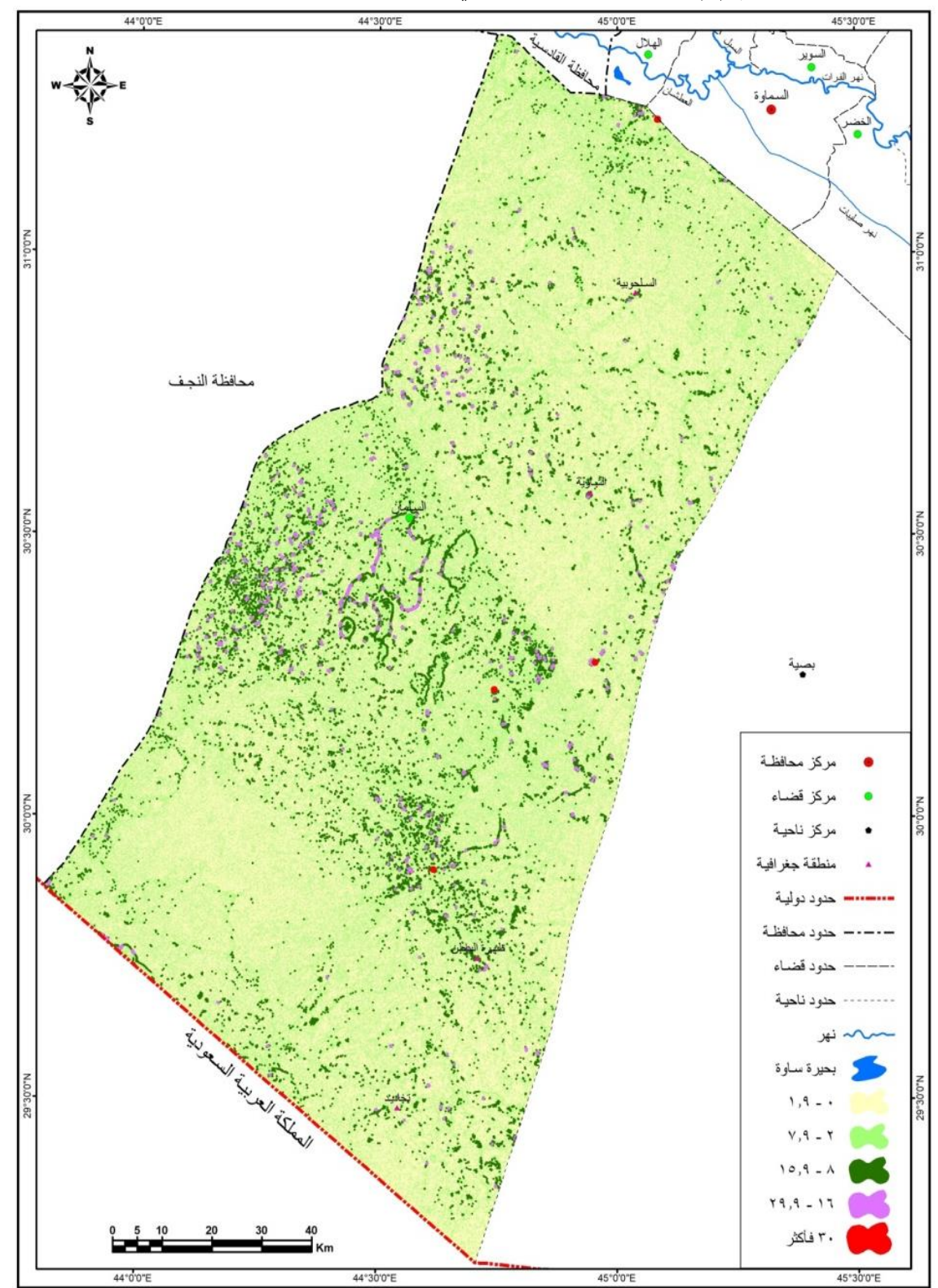
حسب تصنيف Zink (1989).	اشكال تضرس الارض وزوايا الانحدار	جدول رقم (۳)
------------------------	----------------------------------	---------------------

النسبة (%)	المساحة (كم ²)	الانحدار بالدرجات	شكل التضرس	ت
59.87	10454.76	1.9- 0	مستو – مسطح	1
39.65	6923.63	7.9-2	تمو ج خفیف	2
0.48	83.38	15.9-8	متمو ج	3
0.012	2.06	29.9-16	مقطعة - مجزأة	4
0.0001	0.011	30 فأكثر	شديدة التقطع	5
100	17463.84		المجموع	

المصدر:

Stan Marin Ed 1999, GIS Solution in Natural Resource Management, Tenewable Natural Resources Foundation and National Academy of Sciences – National Research Council, Washington, 1999, p88

خريطة رقم (٥) المنحدرات الأرضية في قضاء السلمان وفقاً لتصنيف Zink.



المصدر: الباحثون باعتماد (DEM 30m) وبرنامج (Arc GIS 10.3).

<u>تحليل النماذج الرقمية لدراسة الانحدارات الارضية في قضاء السلمان جنوب محافظة المثنى باستعمال</u> <u>تقنيات الاستشعار عن بعد ونظم المعلومات الجغرافية:</u>

ثانياً: خطوط الارتفاع المتساوي (الكنتور):

من أجل تمثيل التضاريس كميًا أي لإظهار ليس فقط منحدرات المنطقة وأشكالها والانحدار النسبي للتلال، لكن أيضًا الكميات والاختلافات في الارتفاع في أي نقطة، يتم استخدام نظام لبناء الخرائط يسمى خطوط الارتفاع المتساوي الكنتور (Contour)، هو خط (Line) وهمي تخيلي متساوي القيمة يصل بين جميع النقاط التي لها نفس المنسوب قياسا الى مستوى سطح البحر، وهي خطوط مغلقة تعتمد مسافاتها على المقياس الأفقي للخريطة (۱۱). يدل تقاربها الى تضرس سطح الارض في حين يمثل الانحدار الهين تباعد تلك الخطوط عن بعضها البعض. بهذه تنتمي خطوط الكنتور الى مجموعة الرموز الكارتوكرافية (Cartography) المسماة بخطوط التساوي (Isarithms or Isoline) مثل خط الحرارة المتساوي وخط المطر المتساوي وتم استخراجها وفق الخطوات التالية:

Arc Toolbox - 3D Analyst Tool - Raster Surface - Contour.

يتضح من الخريطة رقم (٦) التي رسمت بفاصل كنتوري (15م) واشتقت من نموذج الارتفاع الرقمي (Dem) بدقة (30 م) ان منطقة الدراسة تتحدر من الجنوب عند الحدود العراقية السعودية باتجاه السهل الرسوبي شمالا، كما يلاحظ ان خط الكنتور (435م) يمثل اعلى ارتفاعات قضاء السلمان، على النقيض من ذلك في خط الكنتور (30م) ادنى ارتفاعات المنطقة، اذ تتحدر المنطقة تدريجيا من الجنوب باتجاه الشمال الامر الذي جعل انسياب المياه التي تحملها الوديان خلال الموسم المطير والمياه الجوفية يتفق مع هذا الانحدار.

ثالثاً: ظل التلال Hill Shade:

الظل هو افتقاد النور لحجب جسم ما للضوء، مانعاً اياه من الوصول الى السطح فيحدث الظلام في ذلك الجزء المحجوب. يعد ظل التلال مكملاً لاستخدام الخطوط الكنتورية، التي توفر ارتفاعات دقيقة للتضاريس ولكنها نتطلب تمحيصًا دقيقًا للتأكد من شكل السطح، كما أن الشدة المنعكسة من خرائط الظل ستكون دالة على ميل سطح الارض(١٣). يتم التعامل مع المرتفعات والوديان كأمثلة رئيسة للأشكال المقعرة والمحدبة التي يجب التمييز بينها عند تغيير اتجاه الضوء كما أن النتوءات من أكثر العناصر تأثيرًا على السطح، التي تشكل جنبًا إلى جنب مع المنحدرات والقمم والحواف وغيرها من السمات، خطوطًا هيكلية لرسم خرائط تقسم التضاريس بنقوش مظللة من انحدارات مختلفة تبعا لتأثير التآكل بفعل العمليات الجيومور فولوجية (١٠). عادة ما تتم عملية تحليل الظلال اعتماداً على تقدير شدة الإضاءة في كل خلية الجيومور فولوجية أن (Intensity of Lighting)، عن طريق الهيئة الخلوية التي تغطي قضاء السلمان، اذ تم تحديد درجة الظل من خلال مقياس التدرج الرمادي (Gray Scale) الذي يعبر عنه برقم يعرف اصطلاحاً بالعدد الرقمي من خلال مقياس التدرج الرمادي (DN) اعداد صحيحة موجبة تتراوح ما بين (0 – 255) بناءً على

<u>تحليل النماذج الرقمية لدراسة الانحدارات الارضية في قضاء السلمان جنوب محافظة المثنى باستعمال</u> <u>تقنيات الاستشعار عن بعد ونظم المعلومات الجغرافية: </u>

كيفية مواجهة خلية الشبكة للشمس مباشرة، تعني القيمة 0 أن الخلايا لا تواجه الشمس أو تظلل خلف ميزة طبوغرافية أخرى وتشكل الظل التام اللون الاسود، ، في حين تعني القيمة 255 أن خلية الشبكة تواجه ضوء الشمس مباشرة قليلة الظل وتمثل اللون الابيض. وما بينهما يكون متدرجا باللون الرمادي اشتقت خريطة الظلال بالاعتماد على نموذج الارتفاع الرقمي (DEM) وباستعمال برنامج (Arc GIS 10.3) بزاوية تواجد الشمس مقدارها (315) درجة وزاوية ميلان بمقدار (45) درجة ومن خلال الخطوات التالية:

Arc Toolbox – 3D Analyst Tool – Raster Surface – Hillshade.

فمن خلال الخطوات اعلاه تم انتاج الخريطة رقم (Y) والجدول رقم (3)، اذ اتضح من خلالهما وجود ثلاث مناطق متباينة الظل وهي كالاتي:

جدول رقم (٤) تصنيف ظل التلال في قضاء السلمان.

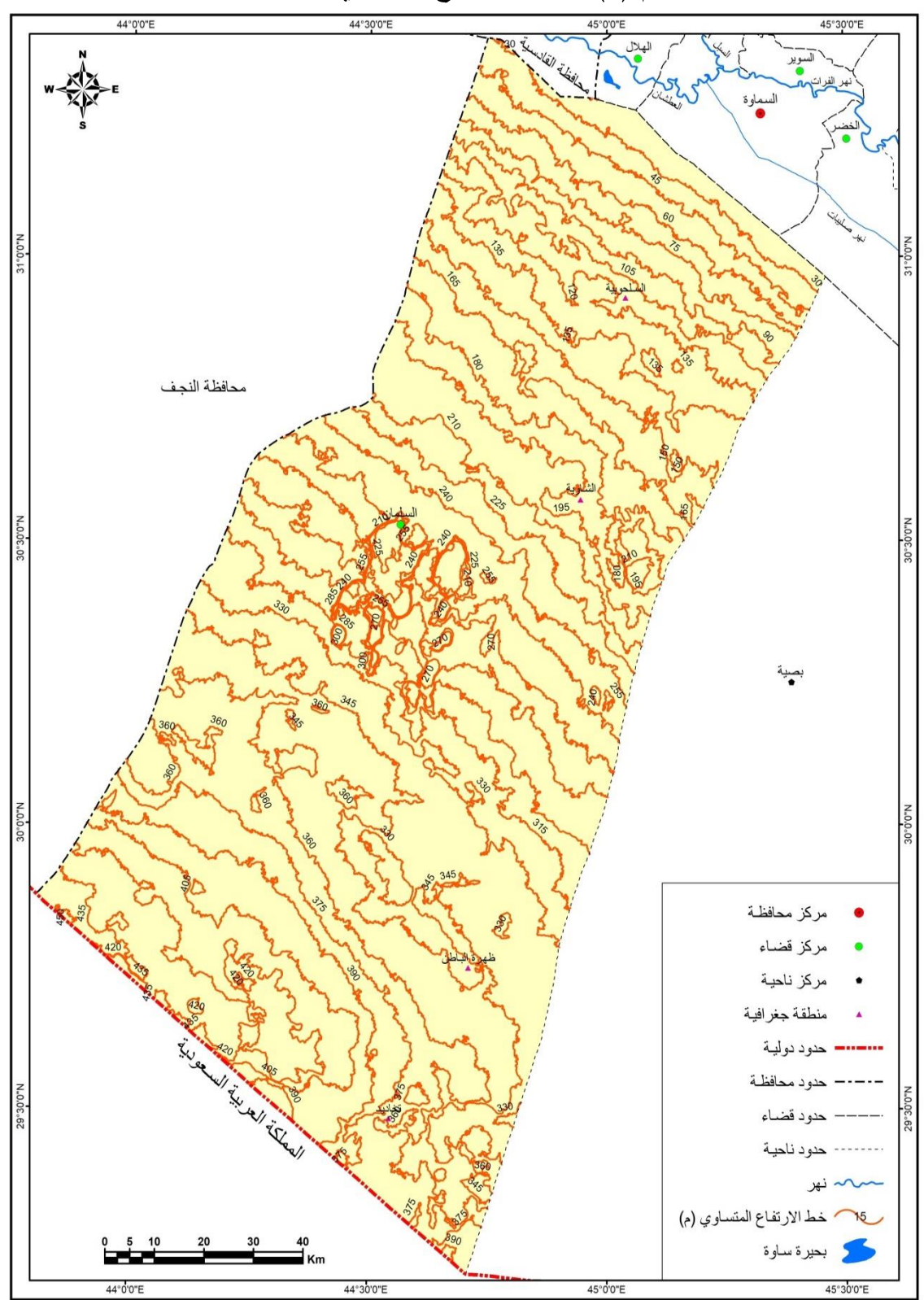
النسبة (%)	المساحة (كم²)	اللون	مستويات قيم التصنيف	تصنيف الظل	ت
24.16	4219.25	اسود	173-0	شديد الظل	1
48.33	8439.65	ر مادي	183-174	متوسط الظل	2
27.51	4804.94	ابيض	254-184	قليل الظل	3
100	17463.84	المجموع			

المصدر: الباحث باعتماد: انموذج الارتفاع الرقمي (DEM 30M) وخريطة (\vee) .

١: مناطق شديدة الظل:

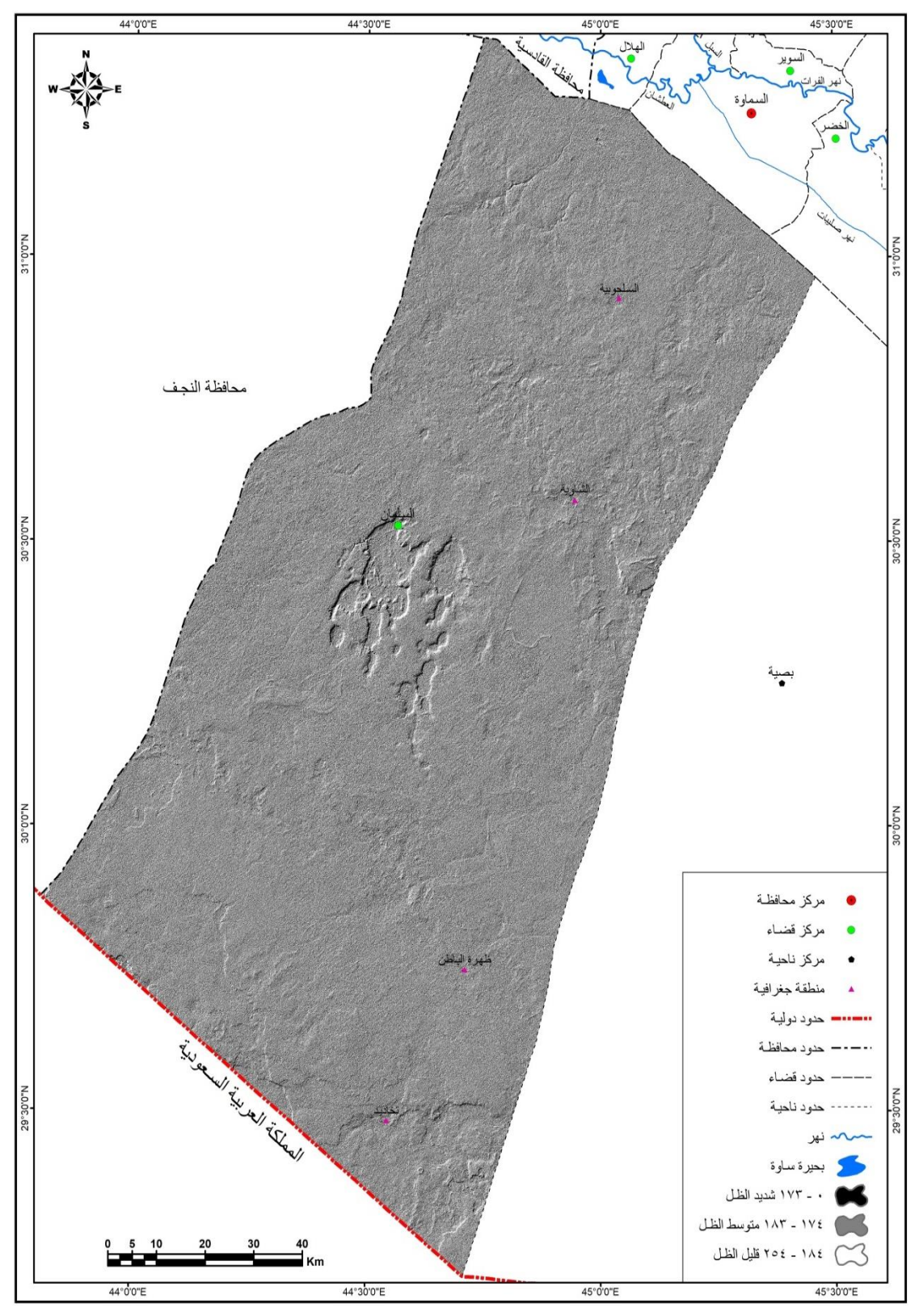
عادة ما يشير الظل الشديد الى المناطق ذات الانحدارات الكبيرة، التي تبدو اكثر وضوحاً في منخفض السلمان ومجاري الاودي العميقة كذلك الحال بالنسبة للمنخفضات ذات الامتدادات الكبيرة، تتراوح قيمها ما بين (0-173) ويرمز لها باللون الاسود، شكلت اقل المساحات المسجلة ضمن منطقة الدراسة قياسا لفئات الظل الاخرى، بواقع (4219.25) كم عا يعادل نسبة مئوية (24.16) من المساحة الكلية لمنطقة الدراسة .

خريطة رقم (٦) خطوط الارتفاع المتساوي لقضاء السلمان.



المصدر: الباحث باعتماد (DEM 30m) وبرنامج (Arc GIS 10.3).

خريطة رقم (٧) ظل التلال لقضاء السلمان.



المصدر: الباحث باعتماد (DEM 30m) وبرنامج (Arc GIS 10.3).

<u>تحليل النماذج الرقمية لدراسة الانحدارات الارضية في قضاء السلمان جنوب محافظة المثنى باستعمال</u> <u>تقنيات الاستشعار عن بعد ونظم المعلومات الجغرافية:</u>

٢: مناطق متوسطة الظل:

هي الاكثر اتساعا من حيث المساحة ضمن منطقة الدراسة بمقدار (8439.65 كم²) وبنسبة مئوية بلغت (48.33 %) ويرمز لها باللون الرمادي ، تتصف بتذبذب الظل والاخير يعكس نشاط عمليات التجوية الميكانيكية المرتبة بالمناخ ، فتعرضها للإشعاع الشمسي بين الحين والاخر يؤثر في المعادن المكونة للصخور من خلال طبيعة التمدد والانكماش، عليه تتجزأ الصخور وتتكسر لتصبح صيداً سهلاً لعمليات التعرية وتشكيل الانحدارات الارضية.

٣: مناطق قليلة الظل:

تشاطر القسم الاول من حيث بيان اشد المناطق ارتفاعا ضمن منطقة الدراسة، تظهر هذه الارتفاعات باللون الابيض، تبدو اكثر وضوحا في الجوانب المرتفعة لمنخفض السلمان كذلك الحال بالنسبة لجوانب الاودية النهرية، فضلا عن المناطق المرتفعة في القسم الاوسط الشرقي من منطقة الدراسة، تبلغ مساحة هذه الفئة (4804.94 كم 2) بنسبة بلغت (27.51 %) من جملة مساحة منطقة الدراسة.

رابعاً: شبكة المثلثات غير المنتظمة (Triangulated Irregylated Network (TIN):

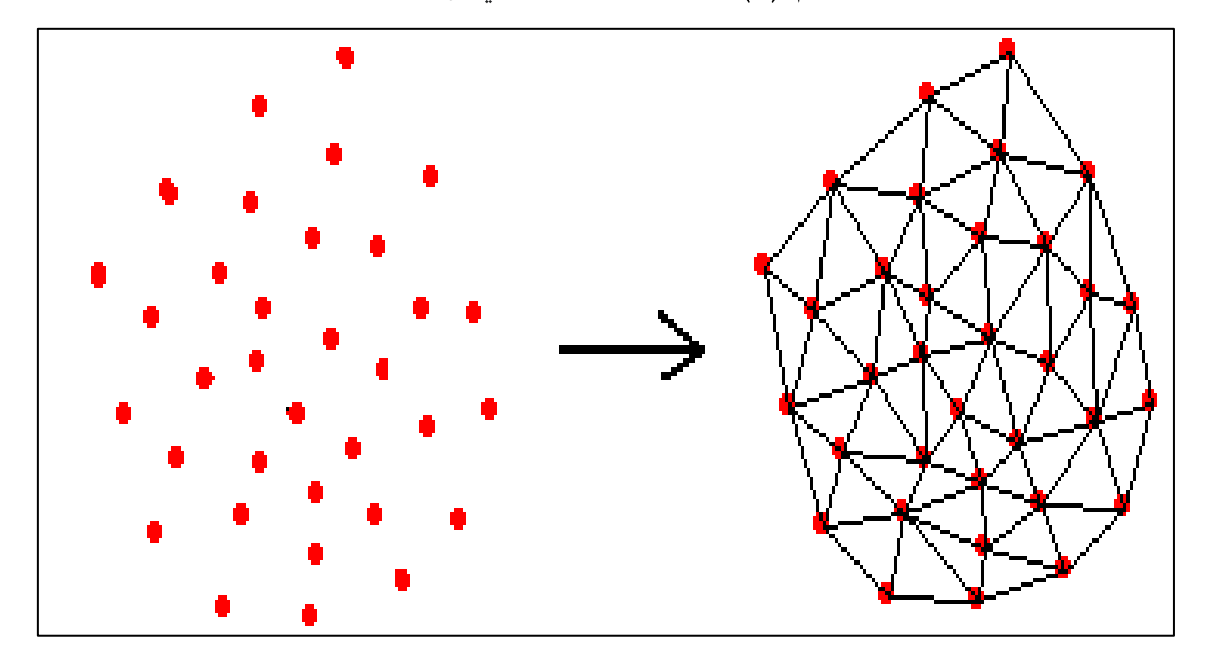
يمكن تمثيل التضاريس بشبكة المثلثات غير المنتظمة (TIN) فهي عبارة عن تمثيل خطي من لمجموعة من النقاط في إحداثيات x و y و y مما ينتج عنه عناصر مثلثة غير متداخلة ذات أحجام مختلفة، تشتق في العادة من بيانات نموذج الارتفاع الرقمي (DEM) (y). تتألف (TIN) من شبكة مثلثية الرؤوس تعرف باسم نقاط الكتلة، ترتبط بها إحداثيات في أبعاد ثلاثة وتتصل من الحواف لتشكل شبكة مثلثية متجاورة بدون تقاطع، ويتم على الفور إنشاء خرائط ثلاثية الأبعاد باستخدام الأوجه المثلثية، ترتبط كثافة التثليث طرديا مع ارتفاع التضاريس، اذ تقل مع الفوارق البسيطة وترتفع حيث يكون هناك تنوع كبير في ارتفاع السطح، في حين ترتبط الحواف عكسيا مع تباين التضاريس، تزداد طولا مع الانحدار البسيط وتقل مع الارتفاعات الكبيرة (y).

على الرغم من وجود العديد من الطرق، إلا أن تثليث ديلاوني Delaunay هو أسلوب مفضل، لأنه يوفر تقريبًا تثليثًا فريدًا ومثاليًا بالنسبة لمجموعة من النقاط، يضمن معيار Delaunay أن الدائرة التي تمر عبر ثلاث نقاط على أي مثلث لا تحتوي على نقاط إضافية شكل رقم (١). يسمح تثليث Delaunay المقيد بإدراج ميزات خطية مثل شبكات القنوات أو حدود مستجمعات المياه والقمم التضاريسية وانهيار المنحدرات والأخاديد وأسطح الوادي والحفر والممرات الجبلية (١٠). تتلخص عمل خريطة المثلثات من خلال الآتى:

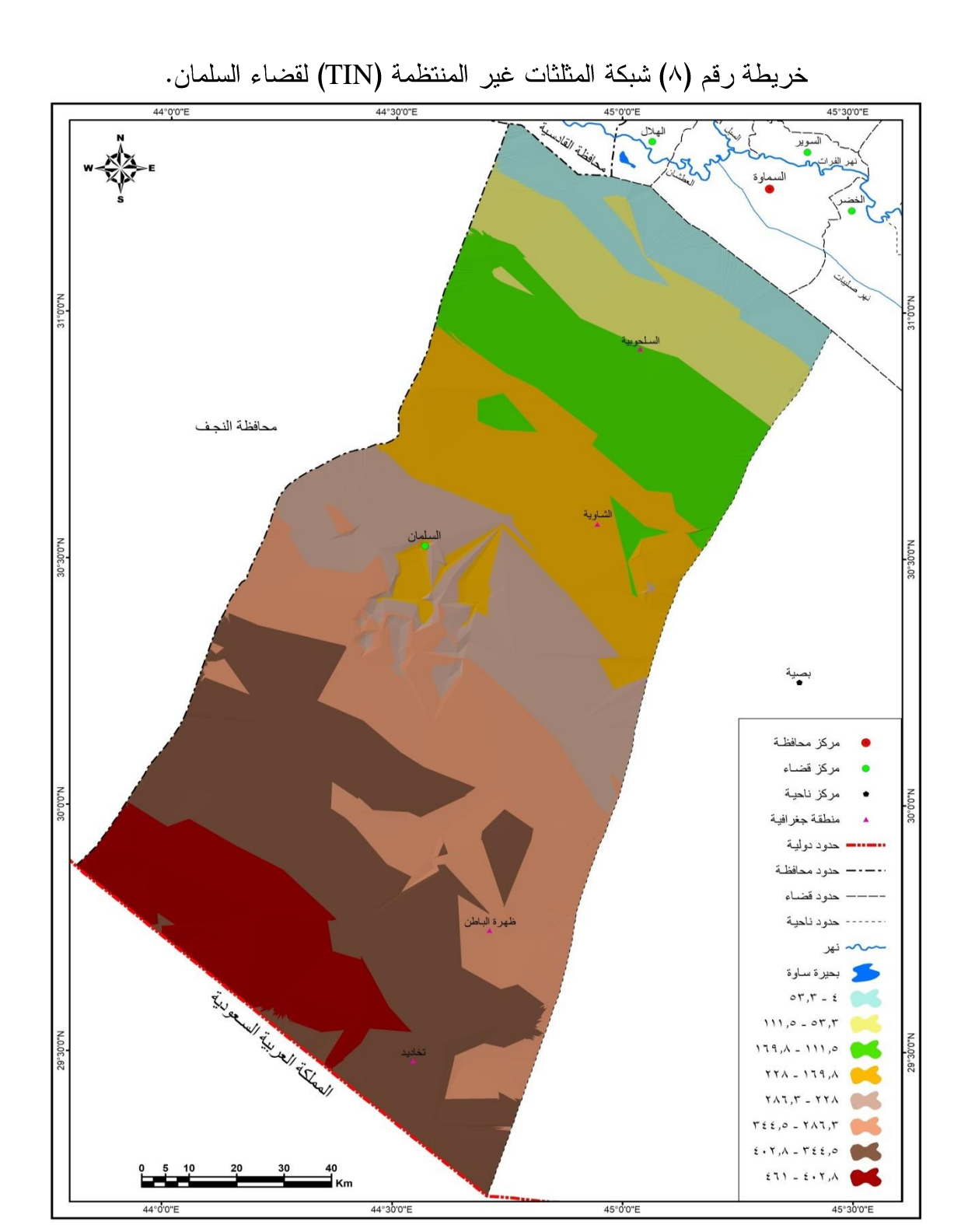
Arc Toolbox - 3D Analyst Tool - Conversion - From Raster - Raster to TIN.

تبين من خريطة رقم (Λ) انموذج شبكة المثلثات غير المنتظمة (TIN) انها تتراوح ما بين ادنى معدل (Δ -53.3 معدل (Δ -53.3 معدل (Δ -53.4 معدل (Δ -402.8 معدل الجنوبي والجنوبي الغربي من القضاء.

شكل رقم (١) طريقة تثليث ديلاوني Delaunay.



المصدر: https://ar.wikipedia.org



المصدر: الباحثون باعتماد (DEM 30m) وبرنامج (Arc GIS 10.3).

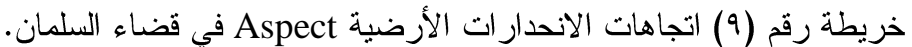
تحليل النماذج الرقمية لدراسة الانحدارات الارضية في قضاء السلمان جنوب محافظة المثنى باستعمال تقنيات الاستشعار عن بعد ونظم المعلومات الجغرافية: __

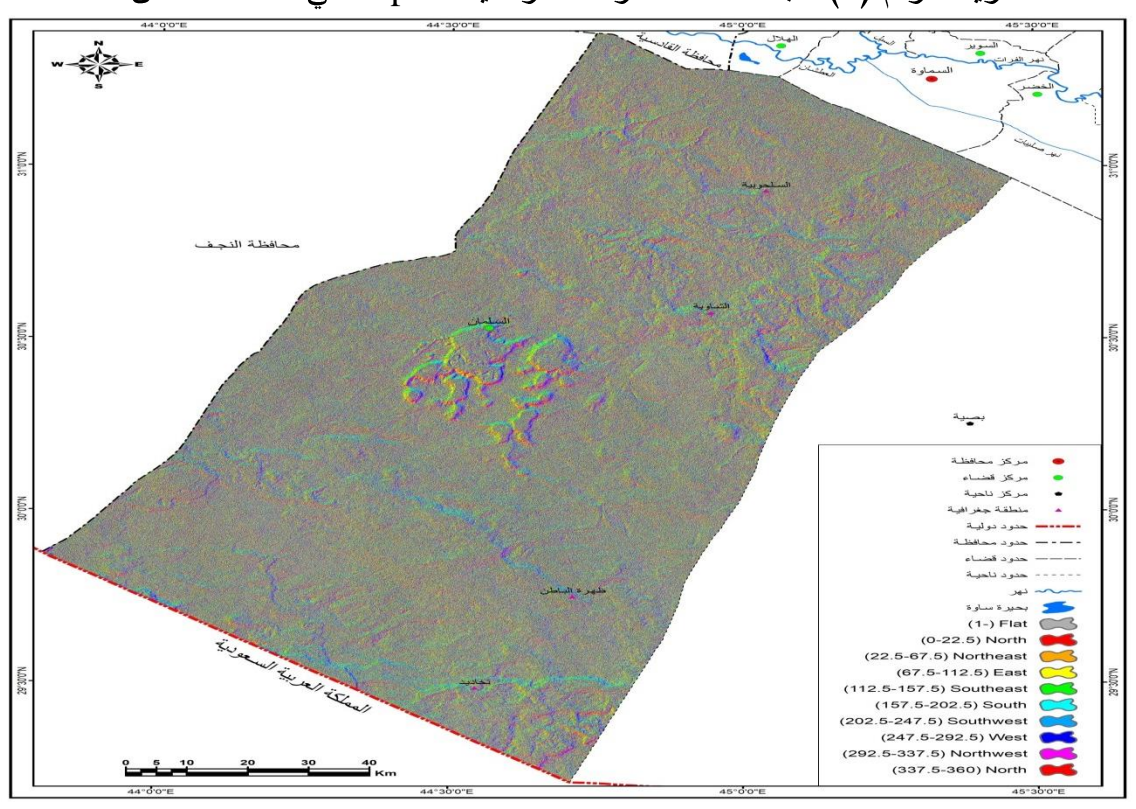
خامساً: اتجاه المنحدرات Aspect:

خرائط الاوجه او اتجاه الميل تعد احد الوسائل المتنامية والطرق الكارتوجرافية لتمثيل بيانات سطح الارض، يعرف اتجاه الانحدار (Aspect) بانه الجهة التي يكون وجه المنحدر باتجاهها، او هو الخط الموجه عمودياً على الخلية والذي يحدد كمية واتجاه ميل المنحدر لكل خلية في الملف الشبكي (Raster) قياسا للخلايا الثمان المجاورة، يتم قياس اتجاه المنحدر بدأ من جهة الشمال (0) ومع دوران عقارب الساعة لينتهي حينذ بنفس الاتجاه بعد ان اكمل دورة كاملة مقدارها (360) درجة (۱۸۰). يعد المنحدر او وجه المنحدر (Slope وحبه المتغيرات الأساسية التي تؤثر على العمليات الجيومورفولوجية من حيث تحكمها بمعدلات التعرية والترسيب وما يرتبط بذلك من انهيارات ارضية او زحف للتربة، كما ان زاوية الشمس تتعلق بذلك ايضا اذ تتباين خصائص المناخ المحلي تبعاً لاتجاه المنحدر، وما يرتبط بذلك من قرارات إدارية التي تتراوح من مكان زراعة الأشجار إلى إنشاء مواقع سياحية، فضلاً عن الاختيار بين الزراعة الآلية والغرس البدوي (۱۹۰).

من خلال نموذج الارتفاع الرقمي (DEM 30m) وبالاعتماد على صندوق ادوات (Toolbox في برنامج (GIS 10.3) تمت عملية اشتقاق اتجاه الانحدارات من خلال الخطوات الاتية: 3D Analyst Tool - Raster Surface - Aspect.

كما في الخريطة رقم (٩) التي يتبين منها تسع اتجاهات متباينة الالوان شملت جميع منحدرات قضاء السلمان ، اذ ان لكل لون إشارة تعكس اتجاه معين.





المصدر: الباحثون باعتماد (DEM 30m) وبرنامج (Arc GIS 10.3).

<u>تحليل النماذج الرقمية لدراسة الانحدارات الارضية في قضاء السلمان جنوب محافظة المثنى باستعمال</u> <u>تقنيات الاستشعار عن بعد ونظم المعلومات الجغرافية: </u>

تشير بيانات الجدول رقم (٥) الى تقارب نسب الاتجاه في منطقة الدراسة وان اتجاه الشمال يتمثل بقسمين كون الاتجاهات تبدأ وتنتهي به، كما ان الاراضي ذات السطح المستوي (Flat) التي لا تمثل اي اتجاه شكلت مساحة بمقدار (264.44 كم 2) ونسبة مئوية بلغت (1.52%) وهي الاقل ضمن منطقة الدراسة، نتمثل في منخفض السلمان وباقي المنخفضات المتناثرة في قضاء السلمان ولهذه النسبة دلالة واضحة على وجود الانحدارات الارضية في قضاء السلمان الذي يعد جزءً من اراضي هضبية خالية من الارتفاعات الشاهقة والجبال، في حين سجلت الاراضي ذات الاتجاه الشمال الشرقي (Northeast) المساحة الاكبر بحوالي (13.52 كم 2) ونسبة (23.51%) من المساحة الكلية لمنطقة الدراسة، يقل عن الاخير الاراضي ذات الاتجاه الشرق (East) بمقدار ضئيل او يكاد يشترك معه في نفس النسبة مشكلا مساحة ونسبة على التوالي (2343.24 كم 2) (24.13%) من جملة مساحة منطقة الدراسة، تظهر هذه الاتجاهات في الاراضي المرتفعة المحيطة بمنخفض السلمان كما تظهر في الجزء الاوسط الشرقي من القضاء فضلا عن قسمه الجنوبي، اما اقل الاتجاهات من حيث المساحة فهو اتجاه الشمال (North) بفئتيه (2.52–0 و 2) ونسبة مئوية بمجموع ايضا (13.17%) من (360) اذ شكل مساحة قضاء السلمان.

جدول رقم (٥) زاوية اتجاه الانحدار ومساحتها ونسبتها في قضاء السلمان.

النسبة (%)	المساحة (كم²)	اتجاه الانحدار	زاوية اتجاه الانحدار بالدرجات	ت
1.52	264.44	مست <i>و ي</i> (Flat)	1-	1
8.43	1472.49	الشمال (North)	0-22.5	2
13.52	2360.76	الشمال الشرقي (Northeast)	22.5-67.5	3
13.42	2343.24	الشرق (East)	67.5-112.5	4
12.22	2134.02	الجنوب الشرقي (Southeast)	112.5-157.5	5
11.27	1968.1	الجنوب (South)	157.5-202.5	6
10.84	1891.76	الجنوب الغربي (Southwest)	202.5-247.5	7
11.69	2041.45	الغرب (West)	247.5-292.5	8
12.35	2158.48	الشمال الغربي (Northwest)	292.5-337.5	9
4.74	829.1	الشمال (North)	337.5-360	10
100	17463.84	وع	المجم	

المصدر: الباحثون باعتماد (Dem 30m) وخريطة (٩).

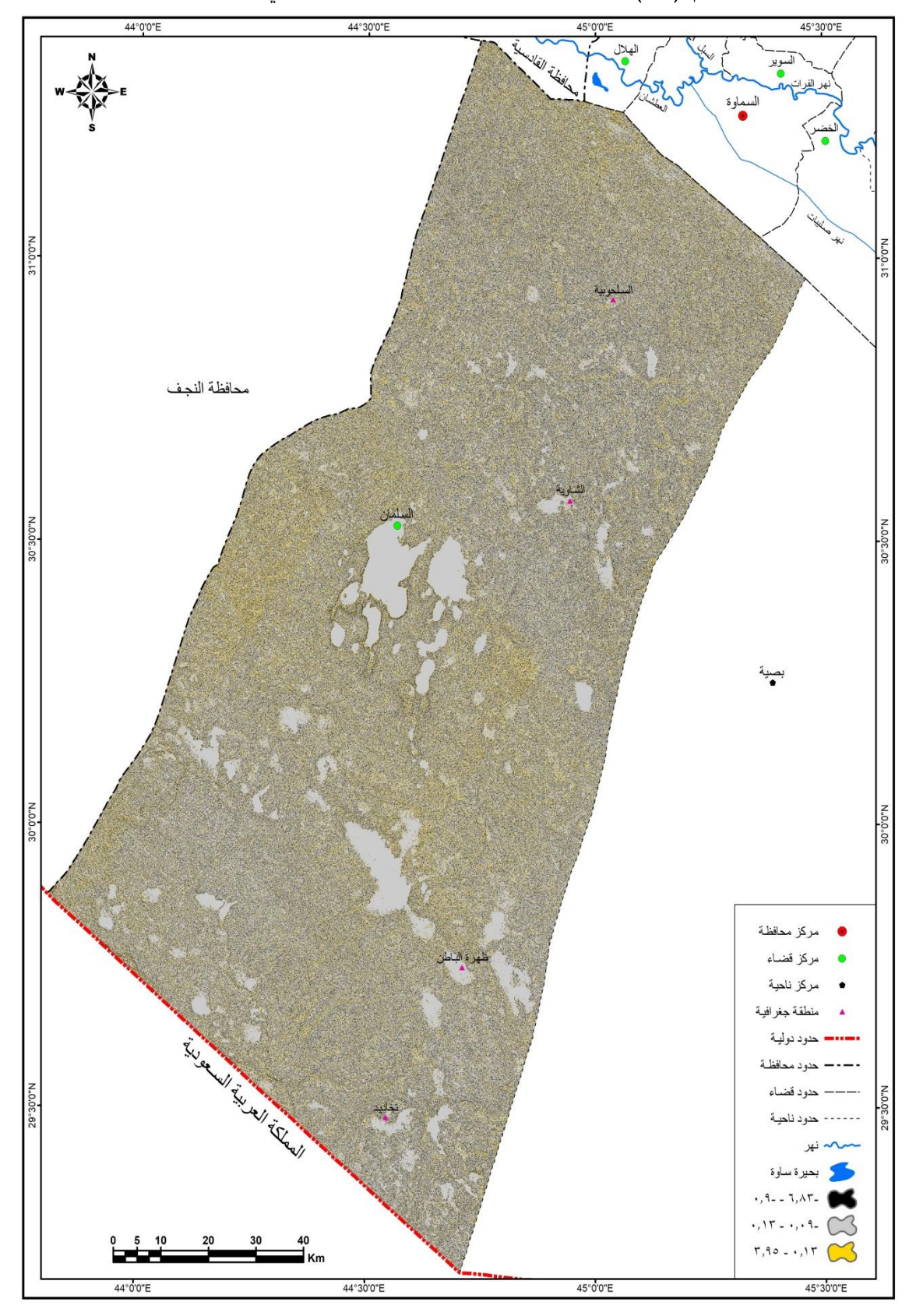
سادساً: تقوس المنحدرات Curvature:

عرّف التقوس (Curvature) بانه معدل التغيير في زاوية الانحدار قياسا الى المسافة الارضية في اتجاه قاع المنحدر على الانحدار الحقيقي ويعبر عنه بالدرجات (٢٠٠). أي ان ما يحدد التقوس هو معدل التغيير في زاوية الانحدار، ليس بالاعتماد على قراءة زاوية انحدار منفردة، لذلك تشكل النتوءات البارزة وجهات التحدب، فيما تكون القاعدة منحدرات مقعرة (٢١). تكمن الأهمية الجيومورفولوجية الرئيسية لتقوس المنحدرات في أنه يشير إلى الطابع المحدب والمقعر والأفقي للأسطح، والديناميكية المائية ترتبط بهذا الطابع، اذ يمكن استخدام ناتج وظيفة الانحناء لوصف الخصائص الفيزيائية لحوض الصرف في محاولة لفهم عمليات التآكل والجريان السطحي، كما يمكن استخدام قيمة الانحناء للعثور على أنماط تآكل التربة وكذلك توزيع المياه على الأرض، يؤثر الانحناء الجانبي على تسارع وتباطؤ التدفق، بالتالي يؤثر على التعرية والترسب وعلى التقارب والتباعد في التدفق (٢٢٠). يعتمد الاستخراج التلقائي للمعلمات المورفومترية، على دقة النماذج الرقمية للرتفاع (DEM)، بناءً على قيم الارتفاع المخزنة من النوع للشبكي (Raster)، ويعتمد في ذلك بشكل رئيس على مخرجات (Raster) ويعتمد في ذلك بشكل رئيس على مخرجات (Raster) العالم الحاسم في حساب التقوس هو المتغير (Z)، ويعتمد في ذلك بشكل رئيس على مخرجات (Raster) اذ انها تحتوي على كل العناصر المطلوبة، ومن خلال الخطوات التالية:

Arc Toolbox - 3D Analyst Tool - Raster Surface - Curvature.

من الخريطة رقم (١٠) والجدول رقم (٦) يتبين وجود منحدرات ذات سطوح مقعرة ومنحدرات ذات سطوح مستوية ومنحدرات ذات سطوح محدبة وهي كالاتي:

خريطة رقم (١٠) درجات تقوس الانحدارات الارضية في قضاء السلمان.



المصدر: الباحثون باعتماد (DEM 30m) وبرنامج (Arc GIS 10.3).

<u>تحليل النماذج الرقمية لدراسة الانحدارات الارضية في قضاء السلمان جنوب محافظة المثنى باستعمال</u> تقنيات الاستشعار عن بعد ونظم المعلومات الجغرافية: __

1: الاشكال الانحدارية المقعرة Concave:

 0.09^{-1} وتسمى بأشكال التقوس السالبة، وهي اشكال تضاريسية منخفضة تتراوح درجاتها ما بين -0.09^{-1} وتصل مساحتها الى -0.088 (5.889) وبنسبة مئوية بلغت -0.088 من مجموع مساحة منطقة الدراسة، عادة ما تشغل منابع المجاري المائية والمنخفضات، وتعطي دليلا الى ان المنحدر في مرحلة الشباب او النضج، بمعنى لازال في طور التكوين، وقد حدثت تغيرات مفاجئة في القوى المحركة للعمليات الجيومور فولوجية التي كانت نشطة في الماضي فتوقفت عند هذه الشكل المقعر، كما ان وضوح التقعر يعتمد على نوع الرواسب والمفتتات، يبدوا اكثر وضوحا في الترسبات الخشنة عنه في الترسبات الناعمة.

جدول رقم (٦) خصائص التقوس لمنحدرات قضاء السلمان.

النسبة (%)	المساحة $(2م^2)$	مستويات السطح بالدرجات	درجة التقوس	الشكل	ت
29.54	5158.89	-0.096.83	سالبة	مقعر	1
55.18	9636.3	0.130.09	اقرب او يساوي صفر	مستو ي	2
15.28	2668.65	3.95-0.13	موجبة	محدب	3
100	17463.84		المجموع		

المصدر: الباحث باعتماد (Dem 30m) وخريطة (١٠).

٢: الاشكال الانحدارية المستوية Flat:

هي اشكال ارضية مستوية او مسطحة ذات زوايا انحدارية ثابتة نسبيا على امتداد المقطع الطولي للمنحدر، تتكون من نسجة ناعمة قياسا بالفئتين الاخريتين، تكون درجة تقوسها صفراً او قريبة منه، اذ تتراوح ما بين ($0.00^{-0.13}$)، تحتل المساحة الاكبر بين الفئات الاخرى بحوالي ($0.03^{-0.09}$) بنسبة بلغت ($0.03^{-0.09}$) من جملة مساحة منطقة الدراسة، تعد نتيجة طبيعية لنشاط عمليات التعرية في خفض وتقليل التحدب بالنسبة للمحبات، كما اثرت عمليات الترسيب في ملى المنخفضات المتناثرة الامر الذي افضى الى ظهور منحدرات مستوية او مسطحة.

<u>تحليل النماذج الرقمية لدراسة الانحدارات الارضية في قضاء السلمان جنوب محافظة المثنى باستعمال</u> <u>تقنيات الاستشعار عن بعد ونظم المعلومات الجغرافية:</u>

٣: الاشكال الانحدارية المحدبة Convex:

يطلق عليها اسم اشكال التقوس الموجبة، تتراوح درجة تقوسها ما بين (0.13-0.18) لتشغل مساحة مقدارها (0.15.28) وهي الاقل بين مساحات الفئات الاخرى، أي ما يعادل نسبة مئوية بلغت (0.15.28) من اجمالي المساحة الكلية لقضاء السلمان، تترافق الاشكال التضاريسية المحدبة مع قرينتها الاخرى (المقعرة)، ويزيد ذلك دليلا المجاري المائية المؤقتة التي تشضي قضاء السلمان في الموسم المطري، اذ ان المقعرات تظهر في الاجزاء المواجهة لبطون الوديان فيما تشغل المنحدرات المحدبة الجهة المعاكسة استنادا الى خط تقسيم المياه الذي يمثل ذلك، بفعل التعرية المائية التي تعمل على قص الاجزاء العليا من المنحدرات ونقل الفتات نحو قاعدة المنحدر ثم نمو هذا الفتات باتجاه الاعلى ومع استمرار هذه العملية ينمو المنحدر المحدب، وهو دليل المرحلة الاخيرة من مراحل تكون المنحدر مرحلة (الشيخوخة).

الاستنتاجات:

- ١. تؤثر العوامل الطبيعية المتمثلة بجيولوجية المنطقة والمناخ والتربة والغطاء النباتي في نشوء وتطور ظاهرة الدراسة في قضاء السلمان.
- ٢. أثبتت الدراسة ان التقنيات الجغرافية الحديثة تعد مصدرا مهماً وذات نتائج دقيقة عند دراسة الانحدارات، وبناء قاعدة معلومات لها بأقل جهد ووقت وارخص التكاليف مقارنة بطرائق المسح التقليدية.
- ٣. بينت الدراسة ان نموذج الارتفاع الرقمي (DEM) هو الاساس في اشتقاق خرائط الانحدارات والخرائط الجيومورفولوجية الاخرى.
- 3. يشغل الجزء الاعظم (99.9%) من منطقة الدراسة السطيح العربي النوبي ضمن نطاق الرصيف المستقر غير الملتوي، جزءً من نطاق السلمان بمساحة (17446.49 كم 2)، وتكوينات الزمن الثلاثي هي الاكثر شيوعا في قضاء السلمان بمساحة بلغت (13762.19 2) ونسبة مئوية (78.80%)، تتراوح اعمارها بين البلايوسين الى البلايستوسين (Pliocene Pleistocene).
- مجلت ادنى معدلات درجات الحرارة خلال الفترة ١٩٩٠-٢٠٢٠ في شهر كانون الثاني بمقدار (37.1 م) ضمن محطة السماوة ، ترتفع تدريجيا لتبلغ اقصاها في شهر تموز بواقع (37.1 م). كما سجلت المحطة الشار اليها سبقا مجموع مطري سنوي بنحو (118.8 ملم) لنفس الفترة السابقة، ويفسر ذلك ارتفاع حرارة المنطقة وجفافها.
- 7. يعد مؤشر الغطاء النباتي شيوعًا في الكشف عن التغطية النباتي شيوعًا في الكشف عن التغطية النباتية ، اتضح بعد تطبيقه ان التغطية النباتية في قضاء السلمان من الفئة ($0.10^{-1}-0.12$) هي الاكبر مساحة بنحو (10478.06) كم أي ما يعادل (59.99%) من مجوع مساحة منطقة الدراسة

تحليل النماذج الرقمية لدراسة الانحدارات الارضية في قضاء السلمان جنوب محافظة المثنى باستعمال تقنيات الاستشعار عن بعد ونظم المعلومات الجغرافية: __

البالغة (17463.83 كم 2) كما ان التغطية النباتية في قضاء السلمان من الفئة (2 0.12 كم 2 0 كما ان التغطية النباتية في قضاء السلمان من مجوع مساحة منطقة الدراسة الاكبر مساحة بنحو (2 0.10478.06 كم 2 1 يدل ذلك الى ضاّلة الغطاء النباتي ان لم ينعدم.

۷. تراوحت درجات الانحدار ما بين $(--7)^{\circ}$ ، وان $(10454.76)^{\circ}$ من مساحة قضاء السلمان تقع ضمن الانحدار المستوي—المسطح ضمن درجة الانحدار $(0-0)^{\circ}$ في حين شكلت الانحدارات شديدة التقطع ضمن الغئة $(30)^{\circ}$ فأكثر مساحة $(0.011)^{\circ}$ من جملة مساحة قضاء السلمان.

التوصيات:

- التشجيع على استخدام تقنيات الاستشعار عن بعد ونظم المعلومات الجغرافية ضمن أدوات البحث العلمي، لأنها تختزل الجهد والوقت والتكلفة.
- ٢. اعادة العمل في محطة السلمان المناخية بعد توقفها في تسعينيات القرن السابق، ويقترح ايضاً رفدها بمحطة هيدرولوجية لتحديد حجم الجريانات المائية خلال الموسم المطير، ووضع الخطط الاستثمارية في تسيرها كمنافع لسكان البادية.
- ٣. التوسع في استثمار المساحات قليلة الظل ومتوسطة الظل كونها تعكس الانحدار القليل، وهذا على
 الاغلب يتوفر في مساحات واسعة من القضاء لاسيما الشمالية منها.
- استغلال أراضي الفيضات ، وتحديد مناطق الرعي بالنسبة للبدو ضمن حدود البادية لمنع الرعي الجائر كون النباتات تعمل على حماية التربة من الانجراف.
- ٥. ضرورة التخطيط من ناحية التوسع العمراني في القضاء، يجب الابتعاد عن مناطق الانحدارات الشديدة ومناطق منافذ السيول، لتوفر اعلى درجات الامان لقاطنيها، زيادة على توفير مغريات لتشجيع السكان بعدم ترك القضاء والهجرة الى مركز السماوة، فضلاً عن تشجيع للأفراد من خارج القضاء للانتقال اليه، كتوطين البدو على سبيل المثال.

المصادر

⁽¹⁾ Bernard Francois and Claude Manet, Analysis of the Segmentation in the Profile of Alpine Talus Slopes, Permafrost and Periglacial Processes, Vol I, No 53-60,1990, p54.

⁽٢) عبد العظيم قدورة مشتهى، مبادئ الجيومورفولوجيا، الطبعة الاولى، جامعة الازهر، فلسطين، ٢٠٠٦، ص ٤٠. (3) Roger G. Barry and Richard J. Chorley, Atmosphere Weather and Climate, Taylor & Francis, London, 2004, p50.

تحليل النماذج الرقمية لدراسة الانحدارات الارضية في قضاء السلمان جنوب محافظة المثنى باستعمال تقنيات الاستشعار عن بعد ونظم المعلومات الجغرافية: ـــ

- (4)Roger G. Barry and Richard J. Chorley, Atmosphere Weather and Climate, Taylor & Francis, London, 2004, p50.
- (5) Tom Mueller and Gretchen F. SassenrathK, Gis APPLICATIONS IN AGRICULTURE SERIESGISAPPLICATIONSIN, Volume Four, Taylor & Francis Group, New York, United States of America, 2015, p14.
- (6) Israa Jameel Muhsin, Change detection of remotely sensed image using NDVI subtractive and classification methods, Iraqi Journal of Physics, 2016, Vol.14, No.29, P127.
- (7) Tom Mueller and Gretchen F. SassenrathK, Gis APPLICATIONS IN AGRICULTURE SERIESGISAPPLICATIONSIN, op. sit, P14.
- (8) Salah Abed Al-Hamed Saleh and Eshtar Hussain Nasser and Faten Ghanim Abed, Study of Land Use Changes for Marsh Region by using Landsat Images and by Calculate Normalize Difference Vegetation Index (NDVI), JOURNAL OF COLLEGE OF EDUCATION, No 5, 2015, p34.
- (9) Meera Gandhi.G, S.Parthiban, Nagaraj Thummalu Christy.A, Ndvi: Vegetation change detection using remote sensing and gis A case study of Vellore District, Procedia Computer Science, 57, 2015, P1201.
- (10)Nayyer Saleem. alt, Parameters Derived from and/or Used with Digital Elevation Models (DEMs) for Landslide Susceptibility Mapping and Landslide Risk Assessment, International Journal of Geo-Information, vol , 2019, p2.
- (11) HERBERT M. WILSON, TOPOGRAPHIC SURVEYING, FIRST EDITION, JOHN WILEY & SONS, NEW YORK, 1900, p456.
 - (١٢) محمد محمد سطيحة، الجغرافيا العملية وقراءة الخرائط، دار النهضة العربية، بيروت، 1974، ص 181.
- (13) BERTHOLD K. P. HORN, Hill Shading and the Reflectance Map, IEEE Explore, VOL 69, NO 1, 1981, p15.
- (14) Marianna Farmakis, Serebryakova and Lorenz Hurni, Comparison of Relief Shading Techniques Applied to Landforms, International Journal of Geo-Information, vol 9, 2020, p4.
- (15) Christopher alt, The Implicit Triangulated Irregular Network and Multiscale Spatial Databases, The Computer Journal, vol 37, No 1, 1994, p43.
- (16) Christoph Witzgall, Javier Bernal and Geraldine S. Cheok, TIN Techniques for Data Analysis and Surface Construction, NISTIR, United States Department of Commerce, 2004, pp1-2.
- (17) Enrique R alt, Generation of Triangulated Irregular Networks Based on Hydrological Similarity, Journal of Hydrologic Engineering, Vol 9, No 4, 2004. p288.
- (18) George D Malaperdas and Vayia V Panagiotidis, The aspects of Aspect: Understanding land exposureand its part in geographic information systems analysis, Journal Energy & Environment, Vol 29, No 6, 2018, p2.
- (19) Paul Ritter, A Vector-Based Slope and Aspect Generation Algorithm, PHOTOGRAMMETRIC ENGINEERING AND REMOTE SENSING, Vol 53, No 8, 1987, p1111.
- (20) Lucian BLAGA, ASPECTS REGARDING THE SIGNIFIANCE OF THE CURVATURE TYPES AND VALUES IN THE STUDIES OF GEOMORPHOMETRY ASSISTED BY GIS, Analele Universității din Oradea, Seria Geografie, Vol 22, No 2, 2012, p 330.
 - (٢١) تغلب جرجيس داود، علم اشكال سطح الارض التطبيقي، مصدر سابق، ص121.
- (22) Douglas W. Burbank and Robert S. Anderson, Tectonic Geomorphology, 2nd, John Wiley & Sons, UK, 2012, p213.